食品衛生基準科学研究費補助金(食品安全科学研究事業) 食品添加物の試験法の検討及び摂取量に基づく安全性確保に向けた研究 令和6年度分担研究報告書

食品添加物の規格試験法の改良に関する調査研究

━アスパルテーム定量法の改良に関する検討 ━

研究分担者 大槻 崇 日本大学生物資源科学部 食品開発学科 准教授

研究要旨 アスパルテームの規格試験法の改良および精度向上を目指した研究の一環として、昨年度確立した提案法を基に「H核による定量NMR(「H-qNMR)に基づく相対モル感度 (Relative Molar Sensitivity: RMS)を用いたL-アスパルチル-D-フェニルアラニンメチルエステル (L, D-APM)および5-ベンジル-3,6-ジオキソ-2-ピペラジン酢酸(DKP)分析法の確立について検討を行った. その結果、基準物質(アスパルテーム)に対するL, D-APMおよびDKPの各RMSが明らかとなり、これらのRMSの正確性はモデル溶液を用いた実験により実証された. 以上の結果より、今回明らかとなったRMS及び基準物質を用いることでアスパルテームから、L, D-APM及びDKPの定量が可能となり、アスパルテームを含め計3種の測定対象物質の効率的かつ信頼性の高い分析法が確立された.

A. 研究目的

アスパルテームは,図1に示すようにL-ア スパラギン酸と L-フェニルアラニンからなる ジペプチドのメチルエステル(L-アスパルチル-L-フェニルアラニンメチルエステル)である. これは 1965 年に J.D. Schlatter が発見した化合 物であり、甘味度は砂糖の200倍、さわやか な自然な甘さを特徴とする甘味料として使用 が認められている食品添加物である1.このア スパルテームについて、日本ではその品質や 安全性を担保するために、食品添加物公定書2 において, ①製品中のアスパルテーム含量, ②原料由来または製造の際に生じる副生成物 等(鉛, ヒ素, 5-ベンジル-3,6-ジオキソ-2-ピペ ラジン酢酸(DKP), L-アスパルチル-D-フェニル アラニンメチルエステル(L, D-APM))(図 1)の含 量の上限, ③製品中の有効成分や不純物等の 定量法,純度試験などが「成分規格」として 定められている. このうち、アスパルテーム の含量を測定する際に使用する定量法では, 電位差滴定法が規定されているが、定量値の 正確性の向上, 国際調和等の観点から, HPLC

法への変更が期待されている. 昨年度は、米 国食品規格集(FCC)12³で示されている方法を 参考に、HPLCによるアスパルテーム確認試験 法の確立に関する検討を行い, 流速や移動相 の変更, グラジエント条件を最適化したアス パルテーム, L, D-APM, DKPの同時定量が可 能な方法(提案法)を確立した. 今年度は, 提案 法のさらなる改良並びに分析法全体の効率化 や精度向上を目的に、「H 核による定量 NMR (¹H-qNMR)に基づく相対モル感度(Relative Molar Sensitivity: RMS)を用いた HPLC 法(RMS 法)46に着目し検討を進めることとした.この RMS 法は、測定対象物質および測定対象物質 とは異なる基準物質(代替定量用標品)との正確 な RMS を明らかにすることにより、「基準物 質」,「RMS」および「測定対象と基準物質の 分子量比」から測定対象物質の定量を可能と する方法である. また、RMSは、計量学的に 正確な定量が可能である ¹H-qNMR に基づき算 出されているため、この方法により得られる 定量値の信頼性も高いと言える.

本研究では、これらの背景を踏まえ、基準物質としてアスパルテームを用いた RMS 法による L, D-APM 及び DKP 分析法の確立について検討した.

B. 研究方法

1)試薬

アスパルテームは、関東化学株式会社製を用いた. L-アスパルチル-D-フェニルアラニンメチルエステル(L, D-APM)は、富士フイルム和光純薬株式会社製を用いた. 5-ベンジル-3,6-ジオキソ-2-ピペラジン酢酸(DKP)は、Sigma-Aldrich製を用いた. 1,4-ビス(トリメチルシリル)ベンゼン(1,4-BTMSB-d4)認証標準物質は、富士フイルム和光純薬製を用いた. 重メタノールは関東化学株式会社製を用いた. その他の試薬はすべて市販の試薬特級品を用いた.

2)装置

LM1010 高速液体クロマトグラフ(評価機) ((株)日立ハイテクサイエンス製).

ミクロ天秤: BM-20((株)エー・アンド・デイ製)

セミミクロ天秤: AUW220D 及び AP125WD ((株)島津製作所製)

遠心分離機: 5220(久保田商事(株)製)及び MiniSpin (エッペンドルフ製)

3)¹H-qNMR に基づく RMS を用いたアスパルテ ーム, L, D-APM, DKP 分析法の確立

3-1) ¹H-qNMR によるアスパルテーム L, D-APM 及び DKP 試薬の含量測定

アスパルテーム約 25 mg, L, D-APM 及び DKP 約 5 mg を精密に量りとり,

個々のサンプル管に各測定対象物質を移した後、約5 mg を精密に量りとった 1,4-BTMSB- d_4 約5 mg を各測定対象物質が入ったサンプル管へそれぞれ移し、重メタノール5 mL をそれぞれ加えてこれらを溶解した。この溶液約600 μL を外径5 mm の NMR 試料管に入れ、密閉

し、 1 H-qNMR 測定を行った.1,4-BTMSB- d_4 の シグナル面積強度を 18.00 としたときのアスパルテーム,L, D-APM 又は DKP に由来するそれぞれの特定基のシグナル面積強度,分子量,濃度等を下記の式に代入し,各含量 (C_{SA} (%))を算出した.

 $C_{SA}(\%)$

$$=\frac{I_{SA}/H_{SA}}{I_{IC}/H_{IC}}\times\frac{M_{SA}/C_{SA}}{M_{IC}/C_{IC}}\times P_{IC}\times 100$$

 I_{SA} = 測定対象物質のシグナル面積強度 H_{SA} = 測定対象物質の定量シグナルの水素数 M_{SA} = 測定対象物質の分子量(アスパルテーム, L-D-APM: ともに 294.3, DKP: 262.26) M_{IC} = 内標準物質の分子量(1,4-BTMSB- d_4 : 226.50)

C_{SA}= 試験溶液中の測定対象物質の濃度(mg/g) C_{IC}=¹H-qNMR用内標準物質(1,4-BTMSB-d₄)の濃度(mg/g)

I_{IC}= 内標準物質の定量に用いたシグナルの面積 強度

H_{IC}= 内標準物質の定量に用いたシグナルの水 素数

P_{IC}= 内標準物質の認証純度

3-2)¹H-qNMR 測定条件及びデータの解析

 1 H-qNMR 測定の基本条件を表 1 に示した. なお、 1 H-qNMR の化学シフト値は、1,4-BTMSB- 4 の水素シグナルを基準シグナル(δ 0)とし、 δ 値を ppm 単位で表した. 得られた FID データは、フーリエ変換及び位相補正を行った. 1,4-BTMSB- 4 及び定量シグナルの積分範囲を設定した後、1,4-BTMSB- 4 のシグナル面積強度を18.00 としたときのアスパルテーム、L、D-APM又は DKP に由来するそれぞれの特定基のシグナル面積強度等を3-1)で示した計算式に代入し、それぞれの含量を算出した. なお、データの解析は、Delta(日本電子(株)製)により行った.

3-3) 基準物質(アスパルテーム)に対する L, D-

APM 及び DKP の RMS の算出

アスパルテーム, L, D-APM 及び DKP について, 1 H-qNMR により算出された純度値に基づき正確に量りとり,メタノール/0.05 mol/L リン酸(カリウム)緩衝溶液(pH=4.3)を加え調製したものを各測定対象物質の標準原液とした(アスパルテーム:約1500 μ mol/L, L, D-APM 及び DKP:約500 μ mol/L). その後,メタノール/0.05 mol/L リン酸(カリウム)緩衝溶液(pH=4.3)を用いて適宜希釈し,各測定対象物質の標準溶液を調製した.各標準溶液の濃度範囲はアスパルテーム及び DKP は約3 \sim 60 μ mol/L(5点濃度), L, D-APM は約3 \sim 40 μ mol/L(5点濃度)である.

これら各種濃度の標準溶液については、各化合物3セットずつ調製し、次の測定条件によりそれぞれ分析した.

■ 測定条件

カラム: L-column2 ODS (4.6×250 mm, 粒子径 5 μm), カラム温度: 40 ℃, 流速: 0.8 mL/min, 注入量: 10 μL, 移動相 A: 0.05 mmol/L リン酸 二水素ナトリウム: 0.05 mmol/L リン酸水素二ナトリウム= 1:1, B: 0.05 mmol/L リン酸二水素ナトリウム: 0.05 mmol/L リン酸水素二ナトリウム:アセトニトリル=4:4:2, グラジエント条件: 0 min (65 %B)→ 25 min (65 %B)→ 25.01 min (100 %B)→ 40 min (100 %B)→ 40.01 min (65 %B)→ 50 min (65 %B), 検出波長: 220 nm

分析後,各溶液のモル濃度をX軸に,検出器の応答値(ピーク面積値)をY軸にプロットし,Excelを用いて原点を通る(X:0,Y:0)回帰直線を作成し,これを検量線とした.なお,各溶液におけるクロマトグラム上のピークのS/Nが10以上となる濃度範囲で検量線を作成した.その後,得られた測定対象物質及び基準物質の検量線の検量線式の傾きの比(測定対象物質/基準物質)から基準物質に対する測定対象物質のRMSを算出した.

3-4) RMS の正確性の評価

L, D-APM 濃度約 $11 \mu g/mL$ のモデル溶液 A 及び DKP 濃度約 $11 \mu g/mL$ のモデル溶液 B をそれぞれ調製し、RMS の正確性の評価に使用した。

(倫理面への配慮)

本研究は、倫理面にかかわる事項はない。

C. 結果及び考察

1) ¹H-qNMR によるアスパルテーム,L, D-APM 及び DKP 試薬の含量測定

RMS の算出にあたり、使用する標準溶液の 濃度の正確性を担保するためには, 試薬の正 確な含量(純度)をあらかじめ把握することが重 要である. そこで、各試薬の含量について は、「H-qNMR 法により求めることとした. 「HqNMR 法は、スペクトル上に観察される標準 物質と測定対象物質のシグナル面積強度(積分 値)とモル濃度の関係から、測定対象物質の含 量を絶対定量することが可能である。また、SI にトレーサブルな標準物質を用いることによ り、得られる定量値の信頼性は高い方法と言 える. そこで、測定対象物質であるアスパル テーム,アスパルテーム,L,D-APM及びDKP について ¹H-qNMR 測定を行った. なお,本法 により得られた定量値の SI トレーサビリティ を確保するため、認証標準物質として1,4-BTMSB-d₄を用いて試薬中の各含量を算出し た. 各化合物の ¹H-qNMR スペクトルを図 2 か ら図4に示す.これらのプロファイルから, アスパルテームでは δ 2.49 ppm, L, D-APM で は δ 2.06 ppm, DKP では δ 2.04 ppm のシグナ ルを定量用シグナルとして選択し,これらの シグナルから、各試薬の含量(純度)を各試薬2 併行のデータの平均値より算出した. その結 果, 各含量は, アスパルテームで 91.9%, L, D-APMで85.2%, DKPで99.1%であることが明 らかとなった.

2)基準物質(アスパルテーム)に対する L, D-APM 及び DKP の RMS の算出

次に, 基準物質(アスパルテーム)に対する L, D-APM 及び DKP の RMS を算出するため, ¹HqNMR による含量に基づいて調製された各測定 対象物質及び基準物質の標準溶液について, (B-3-2 項に示した測定条件により紫外可視分光検 出器が接続された HPLC で分析した(図 5). その 後、得られたデータに基づき原点を通る各検量 線を作成し、その検量線式の傾きの比(測定対象 /基準物質)から基準物質に対する測定対象の RMS を算出した.まず、各検量線の直線性を評 価したところ, L, D-APM, DKP 及びアスパルテ ームの検量線の決定係数は 0.996~0.9999 と良 好であることが確認された. 各測定対象物質及 び基準物質の代表的な検量線を図6に示す. 測 定対象物質及び基準物質ごとに3併行の検量線 の傾きの平均値を算出したところ, L, D-APM は 1319, DKPは1555, アスパルテームは1583で あることが判明した. これらの検量線の傾きの 相対標準偏差は 1.5~6.6%であり、検量線の決 定係数(直線性)とあわせて評価すると、これら の検量線の傾きは RMS の算出に適用可能であ ることが明らかとなった. そこで, 得られたこ れらのデータより、基準物質(アスパルテーム) に対する測定対象物質の RMS を算出したとこ ろ,表2に示す値であることが明らかとなった.

3)RMS の正確性の評価

得られた RMS の正確性を評価するため, L, D-APMを含むモデル溶液 A(濃度約11 μg/mL)及び DKPを含むモデル溶液 B(濃度約11 μg/mL)を各3セットずつ調製し、HPLCに供し(図7)、RMS 法及び従来法の1つである測定対象物質を定量用標品として用いる絶対検量線法により得られる定量値を比較した.その結果、表3に示すように、RMS 法と絶対検量線法により得られた定量値はほぼ同等であった.また RSD は最大で4.3%と精度も良好であった.以上の結果より、基準物質及びそれに対応する RMS は正確であり、RMS 法によりアスパルテームから L, D-APM 及び DKP の精確な定量が可能であることが明らかとなった.

D. 結論

本研究では、アスパルテームの規格試験法の改良および精度向上を目指した研究の一環として、昨年度確立した提案法を基に「H-qNMRに基づく RMS を用いた L, D-APM および DKP 分析法の確立について検討した.その結果、正確な標準溶液の濃度に基づいて作成した各検量線式の傾きの比(測定対象物質の傾き/基準物質の傾き)より、基準物質(アスパルテーム)に対する測定対象物質 2種の各 RMS を明らかにした.これらの RMS の正確性はモデル溶液を用いた検証により実証され、アスパルテームから測定対象物質 2種の効率的かつ高精度な定量を可能とすることが明らかとなった.本研究で確立した分析法は、アスパルテームの規格試験における実用的な手法としての活用が期待される.

E. 文献

- 1) Idris M, Varshney KM, Sudhakar P, Shukla SK, Baggi TR. HPLC determination of aspartame in tabletop sweeteners by precolumn derivatization using 2, 4-dinitrofluorobenzene. *International Journal of Pharmacy and Pharmaceutical Sciences*, 4, 522-527 (2012)
- 2) 第 10 版食品添加物公定書,厚生労働省,消費者庁
 (2024)https://www.caa.go.jp/policies/policy/standards_evaluation/food_additives/official documents 002
- 3) Food Chemical Codex (FCC) Twelfth Edition, The United States Pharmacopeia (USP)(2020).
- 4) Iwasaki D, Kanazawa M, Kawamoto F, Araho D, Murakami T, Nishizaki Y, Masumoto N, Sugimoto N: A new single-reference quantitative method using liquid chromatography with relative molar sensitivity based on ¹H-qNMR for khellactone esters from *Peucedanum japonicum* root extract. Food Chem., 427, 136647 (2023)

- 5) Takahashi M, Morimoto K, Nishizaki Y, Masumoto N, Sugimoto N, Sato K, Inoue K: Study on the Synthesis of methylated reference and their application in the quantity of curcuminoids using single reference liquid chromatography based on relative molar sensitivity. Chem. Pharm. Bull., 70, 25-31 (2022)
- 6) Koyama K, Sasako H, Higashi Y, Ichikawa H, Nagoya A, Hirao T: Quantitative analysis of bisacurone in turmeric by HPLC using relative molar sensitivity. *Shokuhin Eiseigaku Zasshi* 63, 202-209 (2022).

F. 研究発表

F-1) 論文発表

F-1-1) 論文等

 Ohtsuki T, Huang Y, Kamiya A, Nakayama Y, Matsushita M, Morikawa S, Matsufuji H: Development of an HPLC method using relative molar sensitivity for the measurement of blood concentrations of nine pharmaceutical compounds. J. Pharm. Health Care Sci., 2024; 10: 35.

F-2) 学会発表

F-2-1) 学会等

- 1) 大槻崇,神谷彩音,中山優希,黄奕,松下 美由紀,森川悟,松藤寛: TDM 対象薬など 医薬品 6 種の血中濃度測定における相対モ ル感度に基づくシングルリファレンス HPLC 法の応用.第 6 回日本定量 NMR 研 究会年会(2024.12)(東京)
- 2) 大槻崇, 馬場萌加, 二見櫻子, 黃奕, 遠藤悠平, 金子剣伸, 松藤寛: ¹H-qNMR に基づく相対 モル感度(RMS)を用いた大豆イソフラボン 類分析法の確立. 日本食品化学学会第 30 回 総会・学術大会(2024.5)(東京)

G. 知的財産権の出願・登録状況

なし

図 1 アスパルテーム, L-アスパルチル-D-フェニルアラニンメチルエステル(L, D-APM)および 5-ベンジル-3,6-ジオキソ-2-ピペラジン酢酸(DKP)の化学構造

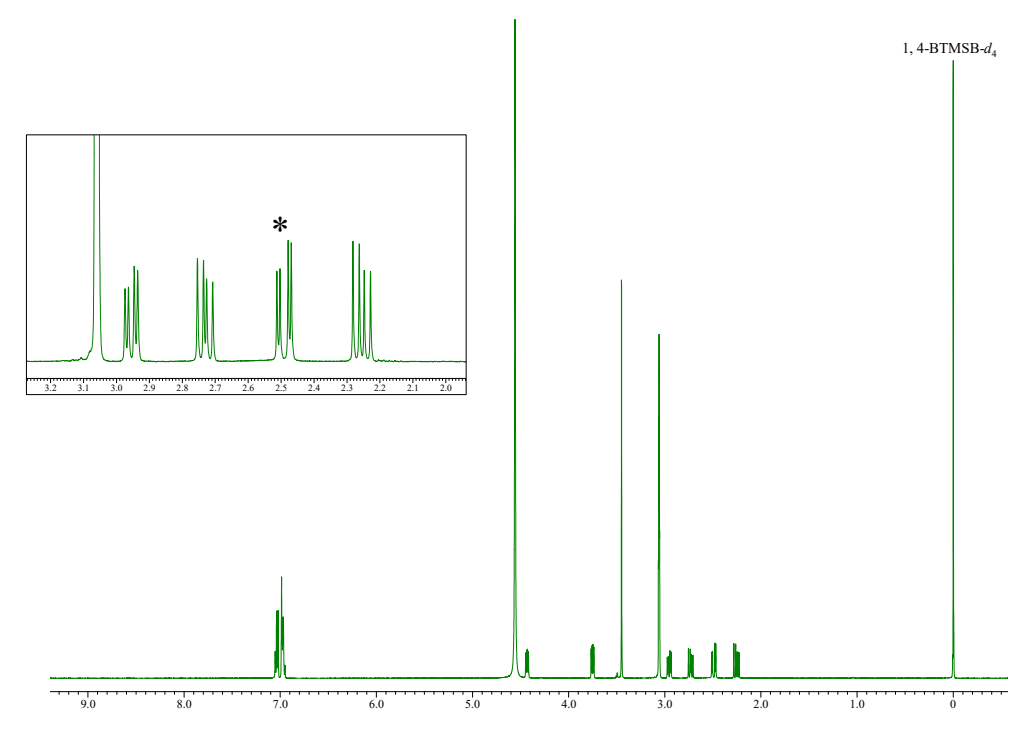


図2 アスパルテームの ¹H-qNMR スペクトル

*:定量用シグナル

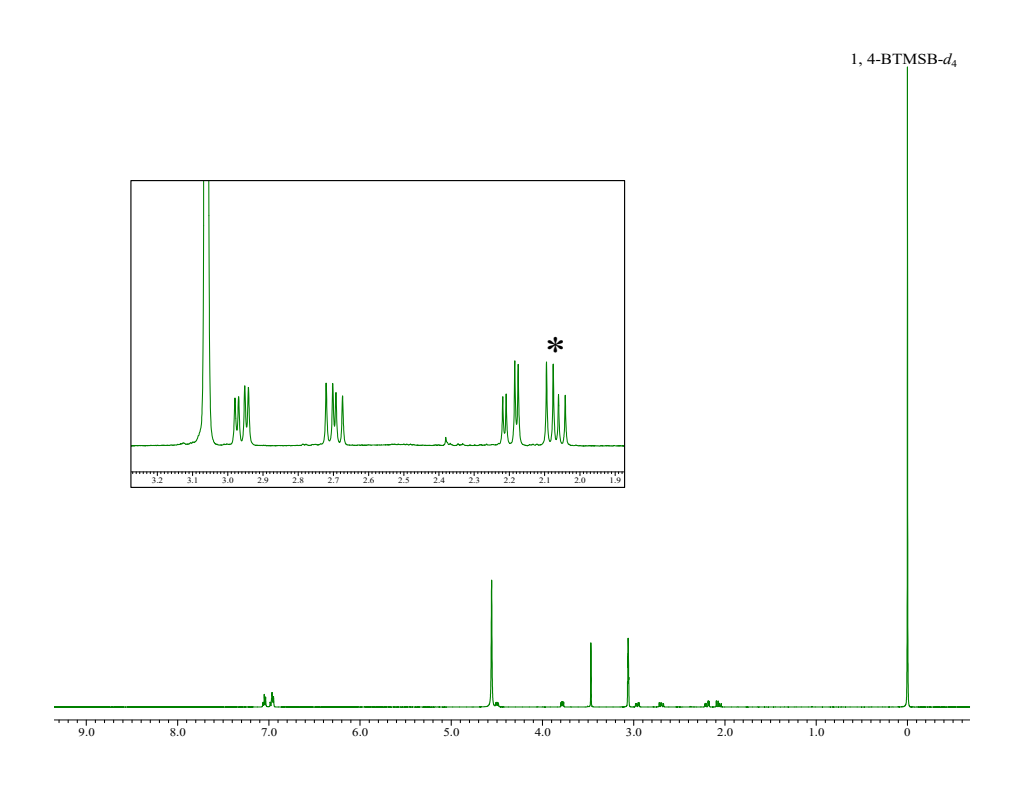


図 3 L, D-APM の ¹H-qNMR スペクトル

*:定量用シグナル

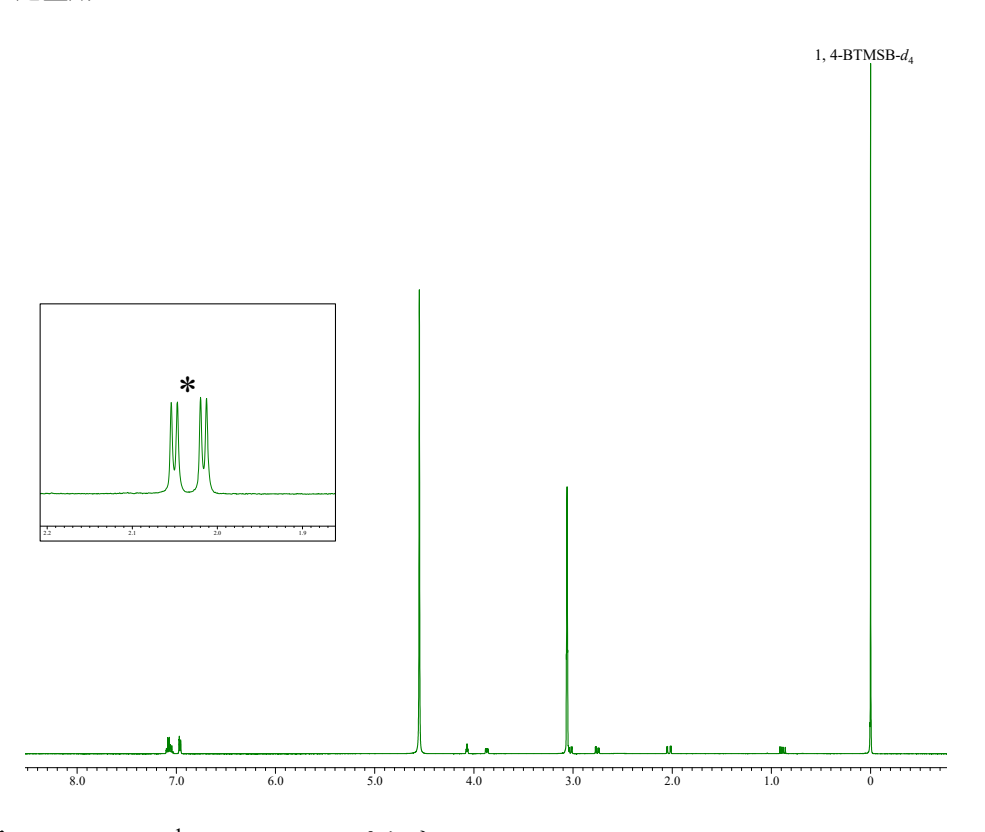


図 4 DKP O 1 H-qNMR スペクトル

*:定量用シグナル

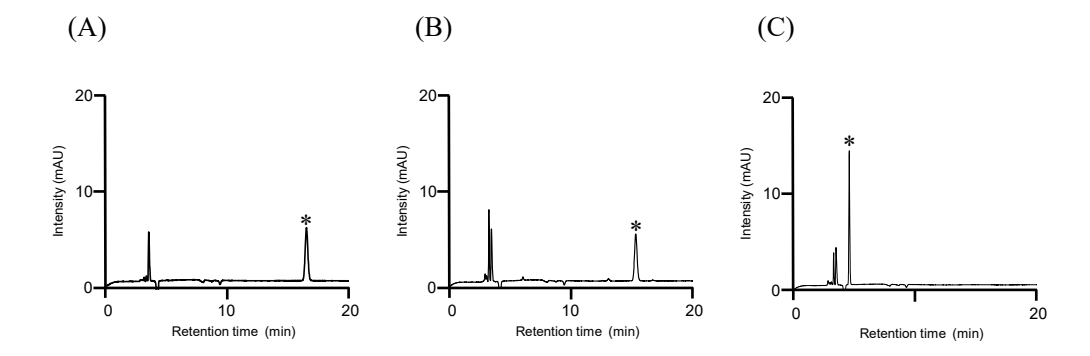


図 5 アスパルテーム(A), L, D-APM(B), DKP(C)の クロマトグラム

*: 測定対象物質のピーク、標準溶液の濃度(15 µg/mL)

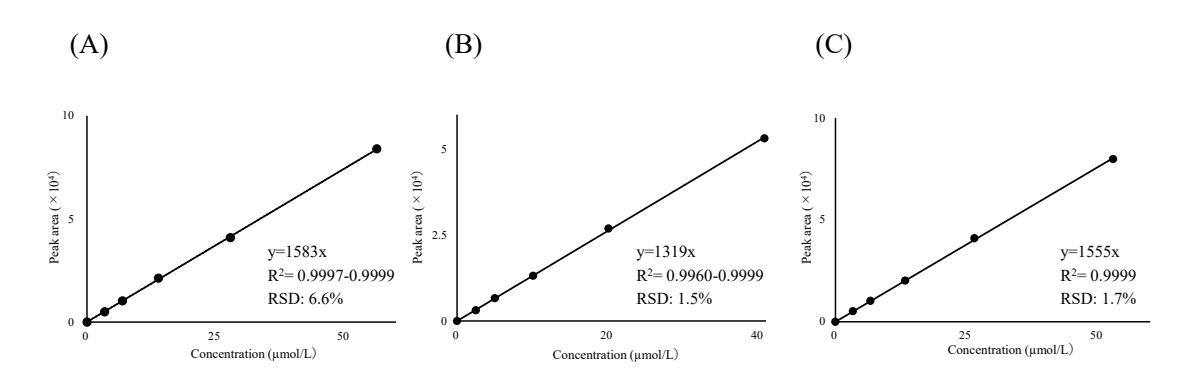


図 6 アスパルテーム(A), L, D-APM(B), DKP(C)の検量線

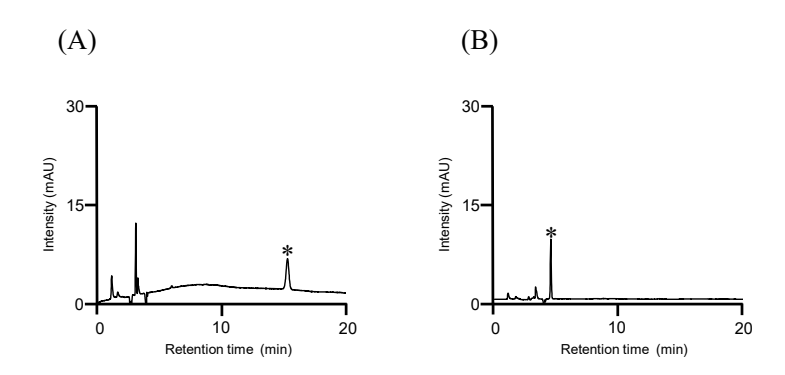


図7 モデル溶液 A(A)及びモデル溶液 B(B)のクロマトグラム

*:測定対象物質のピーク

表 1 ¹H-qNMR 測定条件

装置	JEOL ECA 500 spectrometer	
スペクトル幅	20 ppm(-5—15 ppm)	
データポイント数	65536	
オートフィルター	on(eight times)	
取り込み期間	6.55 秒	
フリップ角	90°	
取り込み待ち時間	60 秒	
スキャン回数	8	
スピニング	off	
¹³ Cデカップリング	Multi-pulse decoupling with phase and frequency	
	switching(MPF-8)	

表 2 基準物質に対する測定対象物質の相対モル感度(RMS)

		Calibrant		
		Aspartame (y=1583x)		
Analyte	L, D-APM (y=1319x)	0.83		
	DKP (y=1555x)	0.98		

表 3 RMS 法と従来法(絶対検量線法)によるモデル溶液 A および B の測定対象 物質の含量の比較(n=3)

	RMS method		Conventional method	
	Content (μg/mL)	RSD (%)	Content (μg/mL)	RSD (%)
Model solution A	11.5	4.3	11.4	4.3
Model solution B	11.2	0.6	11.1	0.6

モデル溶液 A の L, D-APM 濃度: 約 11 μ g/mL,モデル溶液 B の DKP 濃度: 約 11 μ g/mL